#### электронный журнал

## МОЛОДЕЖНЫЙ НАУЧНО-ТЕХНИЧЕСКИЙ ВЕСТНИК

Издатель ФГБОУ ВПО "МГТУ им. Н.Э. Баумана". Эл No. ФС77-51038.

УДК 620.18:620.17

# Оптимизация схем армирования при формировании листовых полуфабрикатов МКМ Al-B, изготовление и испытание образцов из них

**Степанова А.И.**, студент Россия, 105005, г. Москва, МГТУ им. Н.Э. Баумана кафедра «Материаловедение»

Научные руководители: Баженова О.П., руководитель сектора «Материаловедение» Россия, 141400, г. Химки, Московская область, ФГУП «НПО им. С.А. Лавочкина»; Быков Ю. А., д.т.н, профессор Россия, 105005, г. Москва, МГТУ им. Н.Э. Баумана nukmt@mx.bmstu.ru

Металлические композиционные материалы (MKM), армированные высокопрочными обладают высокой И высокомодульными волокнами, конкурентоспособностью по сравнению с традиционными материалами. Уникальные свойства МКМ связаны с возможностью достижения высоких значений прочности, упругости в сочетании с малой плотностью. Важной особенностью этих материалов является возможность регулирования механических свойств выбора путем соответствующей схемы армирования, исходя из требований к конструкциям, в которых он применяется. Перспективной считается композиция алюминий – борные волокна. Отличительным признаком композитов этого класса является тот факт, что они одинаково эффективно работают в условиях приложения, как растягивающих, так и сжимающих нагрузок. Поэтому, с точки зрения проектировщика и конструктора, этот материал является незаменимым при создании ферменных высоконагруженных конструкций, длинномерных штанг, крупногабаритных платформ для установки приборов различного назначения, тубусов телескопов и целого ряда других агрегатов летательных аппаратов.

Оценка свойств композита должна быть произведена на образцах, изготовленных по одной технологии и с соблюдением тех же термомеханических параметров изготовления, что и предполагаемые элементы конструкции. Область исследования характеристик материала должна быть также взаимосвязана с условиями эксплуатации конструкции. Поэтому настоящая работа достаточно полно охватывает почти все основные виды испытаний листов из МКМ Al-B с разными схемами армирования в диапазоне температур от 20 до 250 °C.

Листы из МКМ Al-В изготовляются методом горячей прокатки пакета монолентполуфабрикатов, представляющих собой однослойные композиционные материалы с
матрицей из алюминиевого сплава АМг6. Монолента-полуфабрикат изготавливается
методом плазменного напыления матрицы на вращающийся барабан с намотанными на
него с заданным шагом волокнами бора. Микроструктура моноленты в разрезе показана
на рис. 1. Монослойный полуфабрикат представляет собой механическое соединение
волокон и матрицы и требует дальнейшей обработки для уплотнения матричного сплава и
образования прочной диффузионной связи между волокном и матрицей.

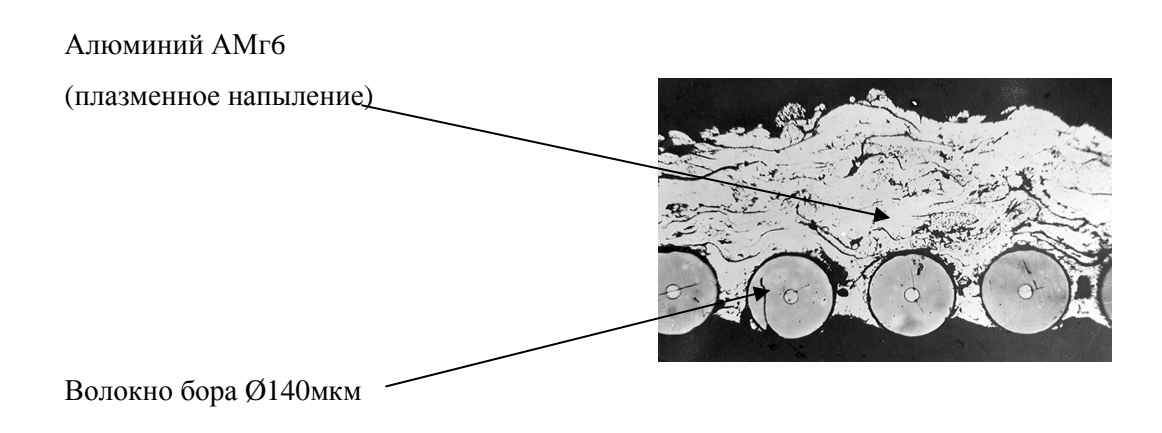


Рис. 1. Микроструктура моноленты (поперечное сечение)

Борные волокна получают осаждением бора из газовой фазы на нагретую до температуры 1100-1200 °C поверхность вольфрамовой нити диаметром от 12,5 до 16 мкм. Осаждение бора путем восстановления его из трихлорида бора протекает в среде водорода по реакции:

$$2BCl_3 + 3H_2 = 2B + 6HCl$$

Шаг укладки волокна составляет 0,18 мм. В процессе получения монолент используются волокна бора без защитных покрытий, плазменное напыление матрицы осуществляется на воздухе. Полученная матрица имеет пористую структуру, толщина моноленты-полуфабриката после изготовления равна 0,31 мм с разнотолщинностью 0,07 мм, а толщина монослоя после прессования в многослойной листовой заготовке составляет 0,16÷0,18 мм.

Применение процесса плазменного напыления матрицы на поверхность намотанных на оправку волокон преследует одновременно две цели:

- закрепление (фиксация положения) уложенного волокна;
- предварительное распределение волокна в матрице.

При сборке пакетов различных схем армирования между слоями моноленты прокладываются слои из алюминиевой фольги АД1 толщиной 20 мкм. На наружные поверхности пакетов в виде плакировочных слоев укладываются слои той же самой фольги, но уже толщиной 50 мкм. При ортогональной схеме армирования фольга внутри пакета монолент необходима для гарантированного исключения возможности дробления волокон, а в однонаправленной структуре - для соблюдения одинаковых условий (в сравнении с ортогональной схемой) изготовления и взаимодействия волокон бора с матрицей, а также уменьшения разницы значений объемной доли волокон для различных структур армирования.

Технологический процесс изготовления изделий из металлокомпозита Al-B должен обеспечивать:

- заданное упорядоченное распределение волокон бора в алюминиевой матрице;
- заданное объемное соотношение между волокном и матрицей;
- прочную связь по границе «волокно матрица»;
- получение монолитного материала без пор, трещин и расслоений;

Технология получения изделий из бороалюминия включает в себя:

- изготовление монослойного полуфабриката в виде слоя однонаправленных волокон, уложенных с определенным шагом и скрепленных матричным сплавом, нанесенным с помощью плазменного напыления;
- сборку многослойной заготовки изделия путем выкладки монослоев полуфабриката;
- горячее прессование многослойной заготовки.

Горячее прессование многослойной заготовки изделия производится в следующем режиме:  $T=450\text{-}540~^{\circ}\text{C},\ P=50\text{-}70~\text{M}\Pi a,\ t=10\text{-}40~\text{мин}.$  Указанные пределы технологических параметров являются оптимальными, поскольку обеспечивают наиболее высокий уровень прочностных характеристик бороалюминия, что было подтверждено экспериментально.

Выбор таких параметров обусловлен следующим:

• температура прессования должна обеспечивать достаточную пластичность матричного материала, способствующую его распределению и уплотнению, а также диффузионную сварку, как между отдельными монослоями полуфабриката, так и между волокнами и алюминиевой матрицей. Одновременно температура прессования не должна быть высока настолько, чтобы в процессе прессования прошло заметное химическое взаимодействие

- между алюминиевой матрицей и борными волокнами, приводящее к деградации волокон;
- продолжительность прессования определяется скоростями деформации матричного сплава и протекания диффузионных процессов в матричном сплаве и по границе раздела волокно-матрица и, следовательно, зависит от величины температуры прессования. Чем выше температура прессования, тем меньше его продолжительность и наоборот;
- величина давления прессования должна обеспечивать пластическое течение матричного сплава и, тем самым, образование физического контакта между слоями полуфабриката, а также между волокнами и матрицей в прессуемой заготовке.

Микроструктура листа после горячего прессования многослойной заготовки приведена на рис. 2.

Бороалюминиевые листы-карточки имеют размеры 400x400xh мм, где h - варьируемая толщина листа. Заготовка листа осуществляется путем последовательной укладки карточек в виде пакета по заданной схеме. Многослойный пакет затем помещают между обогреваемыми плитами пресса и подвергают горячему прессованию. В опытах используют не менее 9 образцов каждого типа укладки карточек.

При изготовлении однонаправленных бороалюминиевых листов типа А толщиной 1 мм заготовка содержит 6 слоев полуфабриката. Сборка карточек заготовки производится так, чтобы волокна во всех карточках были ориентированы в одном направлении. Получение однонаправленных бороалюминевых листов типа В толщиной 1,2 мм осуществляется аналогично, но многослойная заготовка листа содержит 7 слоев полуфабриката. Многослойные заготовки листов с ортогональным армированием типа С и типа D содержат по 8 слоев полуфабриката, что обеспечивает после прессования толщину листов около 1,35 мм. Сборка листов типа С осуществляется так, чтобы волокна всех



Рис. 2. Микроструктура листа МКМ

смежных слоев были ориентированы во взаимно перпендикулярных направлениях относительно друг друга. При изготовлении листов типа D два внутренних слоя помещаются посередине, так чтобы волокна были ориентированы параллельно, а волокна шести наружных слоев – перпендикулярно относительно них. Различные типы листов представлены в табл. 1.

Таблица 1 Типы листов

| Схема армирования | Обозначения<br>листов | Толщина<br>листаһ, мм | Количество слоев, шт | Направление укладки<br>волокон                     |
|-------------------|-----------------------|-----------------------|----------------------|--|
| 1                 | A                     | 1                     | 6                    | Однонаправленное<br>армирование                    |
| 2                 | В                     | 1.2                   | 7                    | Однонаправленное<br>армирование                    |
| 3                 | С                     | 1.35                  | 8                    | Последовательное<br>ортогональное<br>армирование   |
| 4                 | С                     | 1.35                  | 8                    | Ортогональное армирование, распределенное по зонам |

При испытаниях на растяжение используются образцы типа «лопатки» размерами 15x120xh мм для создания условий равномерного нагружения образцов и их разрушения в рабочей части (рис. 3). База испытаний составляет 10 мм. Предел прочности при растяжении  $\sigma_{\text{в.раст}}$ , МПа, определяют по формуле:

$$\sigma_{\text{B,pact}} = \frac{F_{max}}{b \cdot h}$$

где  $F_{max}$  — максимальная нагрузка, предшествующая разрушению образца, H; b — ширина образца, mm;

h – толщина образца, мм.

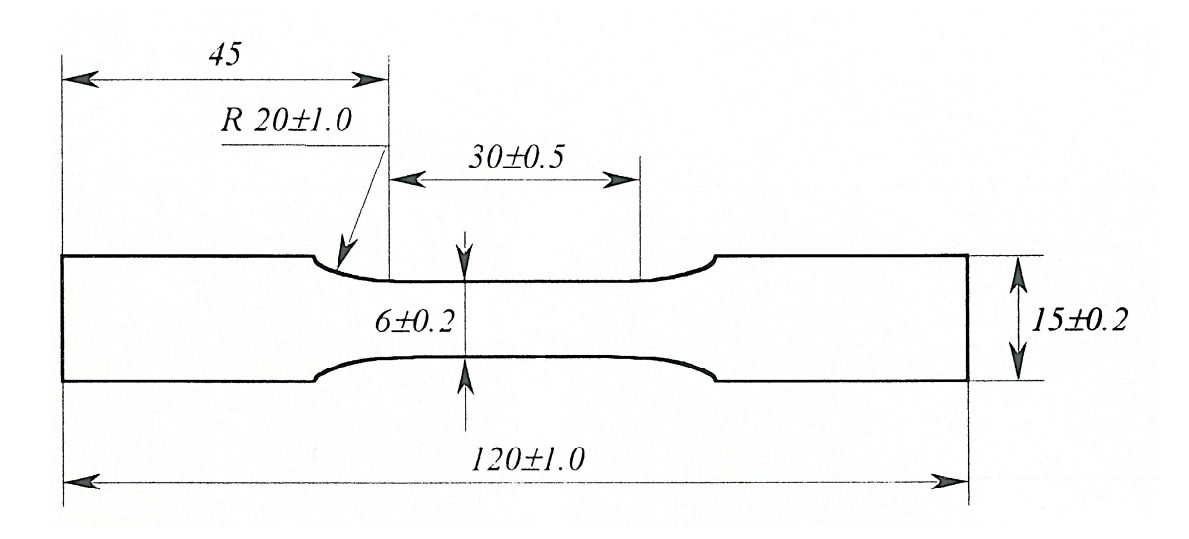


Рис. 3. Образец для испытаний на предел прочности при растяжении

Для определения предела прочности при сжатии как однонаправленного композиционного материала Al-B, так и при ортогональном армировании применяют образцы в виде полосы прямоугольного сечения размером 20x60xh мм (рис. 4). База испытаний составляет 4 мм.

Предел прочности при сжатии  $\sigma_{\text{в.сж}}$ , МПа, определяют по формуле:

$$\sigma_{\text{\tiny B,CXK}} = \frac{F_{max}}{b \cdot h}$$

где  $F_{max}$  – максимальная нагрузка, предшествующая разрушению образца, H;

b – ширина образца, мм;

h – толщина образца, мм.

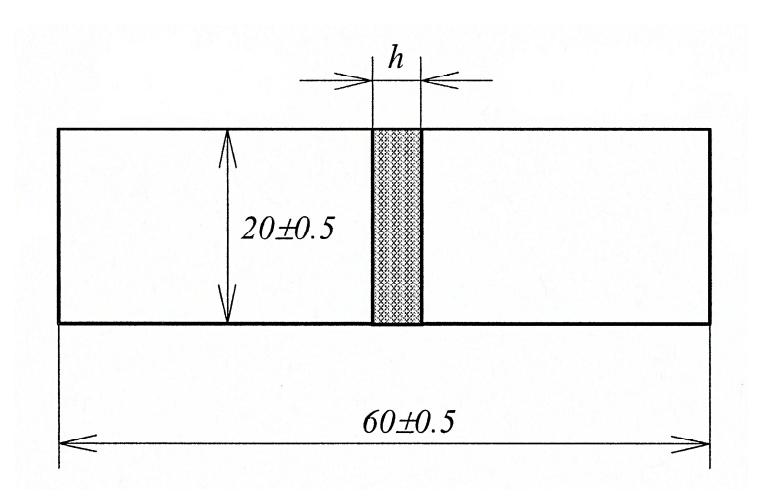


Рис. 4. Образец для испытаний на предел прочности при сжатии

Образцы для определения модуля упругости при сжатии  $E_{\rm cж}$  выглядят аналогично образцам, применяемым для определения предела прочности при сжатии, но имеют длину  $120~{\rm mm}$ .

Модуль упругости при сжатии  $E_{cw}$ , МПа, определяют по формуле:

$$E = \frac{\Delta F_{\text{CK}}}{b \cdot h} \frac{l}{\Delta l} = \frac{\Delta F_{\text{CK}}}{b \cdot h} \frac{1}{\Delta \delta_{\text{CK}}}$$

где  $\Delta F_{cж}$  – приращение нагрузки, H;

1 -база тензометра, мм;

 $\Delta l$  — изменение базы тензометра (деформация мерной базы) при изменении нагрузки на  $\Delta F_{\rm cw}$ , мм;

 $\frac{\Delta l}{l} = \Delta \delta_{\rm c.m}$  — изменение относительной деформации образца при изменении нагрузки на  $\Delta F_{\rm c.m}$ , мм;

b – ширина образца, мм;

h – толщина образца, мм.

При испытании на сдвиг образцы должны иметь форму полосок размерами 8x80xh мм с надрезами толщиной 0,3 мм на противоположных сторонах, смещенными по длине образца на расстояние, равное базе испытаний (8 мм). Чертеж образца представлен на рис. 5. Предел прочности при сдвиге для МКМ Al-B,  $\tau_{\rm B}$ , МПа, определяют по формуле:

$$\tau_{\rm B} = \frac{F_{max}}{l \cdot h}$$

где  $F_{max}$ — максимальная нагрузка, предшествующая разрушению образца, H;

1 – расстояние между прорезями на образце, мм;

h – толщина образца, мм.

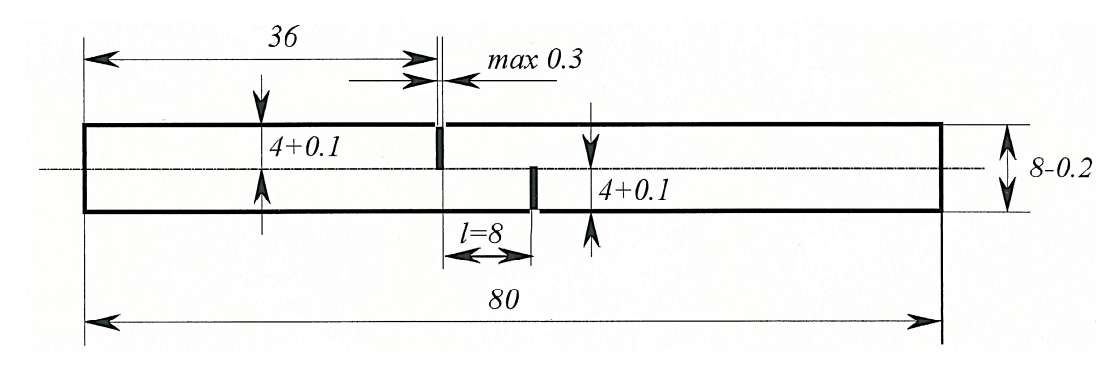


Рис. 5. Образец для испытаний на предел прочности при сдвиге

При однонаправленной схеме армирования все волокна по периметру окружены материалом матрицы, и разрушение от сдвига происходит именно по этой прослойке. Поэтому можно считать, что разрушающие напряжения сдвига близки по своей величине по всем направлениям в плоскости, перпендикулярной оси волокна, то есть предельные напряжения сдвига в плоскости образца равны разрушающим межслоевым напряжениям. Тот же механизм имеет место и для материала с ортогональной схемой армирования, где соседние слои также разделены алюминиевой матрицей.

Усредненные опытные данные приведены в сводных таблицах. В табл. 2 даны свойства КМ в направлении укладки волокон. Если ортогональная схема армирования - то направление также вдоль волокон, расположенных на внешних поверхностях образцов. Экспериментальные характеристики материалов в перпендикулярном направлении приведены в табл. 3. Испытания образцов проводятся при нормальной (20 °C) и повышенной (до 250 °C) температурах. Экспериментально упругие свойства определены при температурах до 230 °C. Для температуры 250 °C приведенные в таблицах упругие свойства получены экстраполяцией.

 Таблица 2

 Свойства композита вдоль волокон

| Тип листа, | Предел                      | Предельная           | Модуль                 | Предел                    | Прочность             | Температура |
|------------|-----------------------------|----------------------|------------------------|---------------------------|-----------------------|-------------|
| толщина    | прочности                   | деформация           | упругости              | прочности                 | на сдвиг              | испытаний   |
| ММ         | σ <sub>в, раст</sub><br>МПа | δ <sub>сж</sub><br>% | Е <sub>сж</sub><br>ГПа | σ <sub>в, сж</sub><br>МПа | т <sub>в</sub><br>МПа | T, °C       |
|            | 1120                        | 0,515                | 236                    | 1820                      | 108                   | 20          |
|            | 1017                        | 0,546                | 233                    | 1710                      | 86                    | 150         |
| тип А;     | 901                         | 0,647                | 223                    | -                         | -                     | 230         |
| h=1,0 мм   | 850                         | 0,690                | 216                    | 1350                      | 41                    | 250         |

|                     | 1154 | 0,552 | 254 | 2505 | 139 | 20  |
|---------------------|------|-------|-----|------|-----|-----|
|                     | 1070 | 0,576 | 245 | 2020 | 103 | 150 |
| тип В;              | 980  | 0,666 | 226 | -    | -   | 230 |
| h=1,2 мм            | 940  | 0,710 | 219 | 1540 | 47  | 250 |
|                     | 501  | 0,450 | 181 | 1100 | -   | 20  |
|                     | 481  | 0,507 | 176 | 970  | -   | 150 |
| тип С;              | 403  | 0,609 | 169 | -    | -   | 230 |
| h=1,35 мм           | 355  | 0,645 | 166 | 780  |     | 250 |
| тип D;<br>h=1,35 мм | 838  | 0,87  | 189 | 1540 | -   | 20  |

Анализ полученных характеристик вдоль волокон для различных структур армирования показывает, что предельные деформации  $\delta_{c*}$  близки друг другу. Предельные деформации находятся в диапазоне 0,5÷0,7 %. Это указывает на то, что определяющим являются деформации разрушения волокон уложенных в направлении нагрузки. Значения предельной деформации растут с увеличением температуры (на 30÷35 %), а снижение величины модулей упругости достигает при этом 10-15 %. Отмечается падение продольной прочности с ростом температуры также на 20÷30 %. Прочность ортогональной структуры, примерно, в 2 раза ниже однонаправленной. Прочность сдвига при температуре 250 °C падает, примерно, в 2,5 раза по сравнению с его величиной при температуре 20 °C.

| Тип листа,<br>толщина, мм | σ <sub>в, раст,</sub><br>МПа | <b>б</b> <sub>сж,</sub> | Е <sub>сж,</sub><br>ГПа | σ <sub>в, сж,</sub><br>МПа | T, °C |
|---------------------------|------------------------------|-------------------------|-------------------------|----------------------------|-------|
|                           | 97                           | 0,100                   | 162                     | 255                        | 20    |
|                           | 89                           | 0,160                   | 145                     | 216                        | 150   |
| тип А;                    | 63                           | 0,247                   | 112                     | -                          | 230   |
| h=1,0 мм                  | 51                           | 0,290                   | 100                     | 117                        | 250   |
|                           | 109                          | 0,111                   | 171                     | 288                        | 20    |
|                           | 96                           | 0,178                   | 153                     | 231                        | 150   |
|                           | 72                           | 0,263                   | 121                     | -                          | 230   |

| тип В;<br>h=1,2 мм  | 62  | 0,320 | 110 | 129  | 250 |
|---------------------|-----|-------|-----|------|-----|
|                     | 472 | 0,515 | 177 | 1040 | 20  |
|                     | 463 | 0,560 | 174 | 920  | 150 |
| тип С;              | 387 | 0,665 | 162 | -    | 230 |
| h=1,35 мм           | 340 | 0,695 | 155 | 720  | 250 |
| тип D;<br>h=1,35 мм | 321 | 0,537 | 149 | 630  | 20  |

При испытании композитов поперек волокон величина пределов прочности у листов с однонаправленным армированием примерно в 2 раза ниже, чем у тех же листов при испытании вдоль волокон. Это подтверждает известную способность композитов обладать высокой анизотропией свойств вдоль и поперек волокон. Для однонаправленных листов типа А, В закономерности изменения свойств в поперечном направлении те же, что вдоль волокон. У более толстых листов все деформативно-прочностные характеристики выше (на 5÷10 %). У листов типа С свойства поперек волокон на 5÷10 % ниже, чем вдоль волокон. Это важный факт, который указывает на то, что порядок укладки слоев по толщине листа оказывает влияние на жесткостные и прочностные характеристики материала. У листа D модуль упругости меньше, чем и у однонаправленных листов в поперечном направлении.

### Выводы

- 1. При сравнении листов типов A и B исследовался масштабный фактор, то есть влияние толщины листа на свойства. Результаты исследований показали, что чем толще лист, тем выше жесткостные и прочностные характеристики.
- 2. При сравнении листов типа В, С и D изучалось влияние количества волокон, уложенных в одном направлении, на свойства. Выяснено, что чем больше волокон лежит в направлении испытаний, тем выше свойства.
- 3. При увеличении температуры значения пределов прочности и модуля упругости понижаются.
- 4. Выполненные исследования показали, что металлические композиционные материалы системы «алюминий борное волокно» сочетают в себе очень высокие значения прочности и жесткости, что делает их более перспективными материалами для использования в высоконагруженных конструкциях, работающих при повышенных (до

200-250 °C) температурах, чем их ближайшие конкуренты – высокопрочные материалы (Авиаль, титаны, АМг6).

### Список литературы

- 1. Любина Дж., Геллера Б.Э. Справочник по композиционным материалам. М.: Машиностроение, 1988. 448 с.
- 2. Гардымов Г.П., Мешков Е.В., Пчелинцев А.В., Лашманов Г.П., Афанасьев Ю.А. Композиционные материалы в ракетно-космическом аппаратостроении. М.: СпецЛит, 1999. 270 с.
- 3. Мэттьюз Ф., Ролингс Р. Композитные материалы. Механика и технология. М.: Техносфера, 2004. 408 с.
- 4. Krishan K. Chawla, Nikhilesh Chawla. Metal Matrix Composites. Heidelberg (USA, NY): Springer, 2006. 401 p.
- 5. Karl U. Kainer. Metal Matrix Composites: Custom-made Materials for Automotive and Aerospace Engineering. New York (USA): John Wiley & Sons, 2011. 330 p.